

ЛЬВІВСЬКИЙ НАЦІОНАЛЬНИЙ УНІВЕРСИТЕТ ІМЕНІ ІВАНА ФРАНКА

Механіко-математичний факультет

Кафедра механіки

## Пояснювальна записка

до кваліфікаційної (дипломної) роботи

бакалавр

(освітньо-кваліфікаційний рівень)

на тему

Двовісний згин на нескінченності кусково-однорідної пластини  
з пружною шайбою та радіальною тріщиною у шайбі  
за контакту її берегів

Виконав: студент IV курсу,  
група МТП-41,  
спеціальність 113 Прикладна математика  
спеціалізація Математичне моделювання  
та комп'ютерна механіка

Баріляк В.Р.

Керівник доц. Звізло І.С.

Рецензент доц. к.т.н. Мельничук А.В.  
Кат. теорії оптимальних процесів  
ЛНУ ім. І. Франка

**ЛЬВІВСЬКИЙ НАЦІОНАЛЬНИЙ УНІВЕРСИТЕТ імені ІВАНА ФРАНКА**

Факультет механіко-математичний

Кафедра механіки

Освітньо-кваліфікаційний рівень бакалавр

Спеціальність 113 прикладна математика  
(шифр і назва)

Спеціалізація Математичне моделювання та комп'ютерна механіка

**«ЗАТВЕРДЖУЮ»**

Завідувач кафедри механіки

проф. Андрейків О.Є.

*Андрейків* 23 *лютого* 2023 року

**З А В Д А Н Н Я**

**НА КВАЛІФІКАЦІЙНУ (ДИПЛОМНУ) РОБОТУ СТУДЕНТУ**

Барильку Віталію Івановичу

(прізвище, ім'я, по батькові)

1. Тема роботи Двовісний згин на нескінченності кусково-однорідної  
пластини з круткою шийбою та радіальною тріщиною у шийбі за  
контакту її берелів

керівник роботи Звідю І.С. доц.

(прізвище, ім'я, по батькові, науковий ступінь, вчене звання)

затверджені Вченою радою факультету від "22" лютого 2023 року № 7

2. Строк подання студентом роботи 12.06.2023

3. Вихідні дані до роботи Малышкін І.П. Згин пластини, ослабленої розрізом  
з контактними берелами / І.П. Малышкін // Докл. АН УРСР. Сер. 7. Фізико-математичні  
наукові праці. - 1988. - № 4. - С. 49-51; Young M. Influence of crack closure on  
the stress intensity factor in bending plates / M. Young, C. Siva // International  
Journal of Fracture. - 1992. - Vol. 55. - P. 81-93.

4. Зміст розрахунково-пояснювальної записки (перелік питань, які потрібно розробити) Вступ; Формулювання задачі; Побудова розв'язку задачі;

Числовий аналіз задачі; Висновки; Список використаної літератури

5. Перелік графічного матеріалу (з точним зазначенням обов'язкових креслень)



## Зміст

Вступ.....	3
Формулювання задачі.....	4
Побудова розв'язку задачі.....	6
Числовий аналіз задачі.....	9
Висновки.....	11
Список використаної літератури.....	12

## Вступ

Конструктивні пластинчасті елементи широко застосовують у машинобудуванні та інших галузях техніки. З технологічних міркувань вони можуть містити кругові включення, де під час виготовлення чи в процесі експлуатації у них можуть виникнути тріщиноподібні дефекти. А тому дуже важливим є, вивчення та аналіз даної проблеми, та як під дією зовнішнього згинального навантаження поблизу цих дефектів виникає висока концентрація напружень, що зменшує їхню міцність, довговічність і може призвести до руйнування даної конструкції.

У більшість наукових праць, що стосуються даної проблематики, автори не враховували контакт берегів тріщини. Хоча зрозуміло, що під дією згинного навантаження береги контактують. Саме таку задачу вивчаємо у даній роботі.

В даній роботі розв'язана задача про двовісний згин кусково-однорідної пластини з пружною круговою шайбою та радіальною тріщиною у шайбі з урахуванням контакту її берегів. Задача зведена до системи сингулярних інтегральних рівнянь, після чого методом механічних квадратур перетворена у систему алгебраїчних рівнянь. На основі розв'язків даної системи, побудовано графічні залежності контактного зусилля між берегами тріщини та коефіцієнтів інтенсивності моментів за різні значень геометричних і механічних параметрів.

## Формулювання задачі

Розглянемо нескінченну кусково-однорідну ізотропну пластину завтовшки  $2h$ , яка складається з пластини з круговим отвором радіуса  $R$ , в який впаяна шайба того самого радіуса. Вважаємо, що пластина перебуває під дією розподілених згинальних моментів на нескінченності. Крім того, в шайбі наявна одна радіальна наскрізна прямолінійна тріщина, береги якої під дією зовнішнього навантаження приходять у гладкий контакт по лінії на одній з основ пластини, причому береги тріщин були вільні від зовнішнього навантаження. Потрібно визначити напружено-деформований стан пластини.

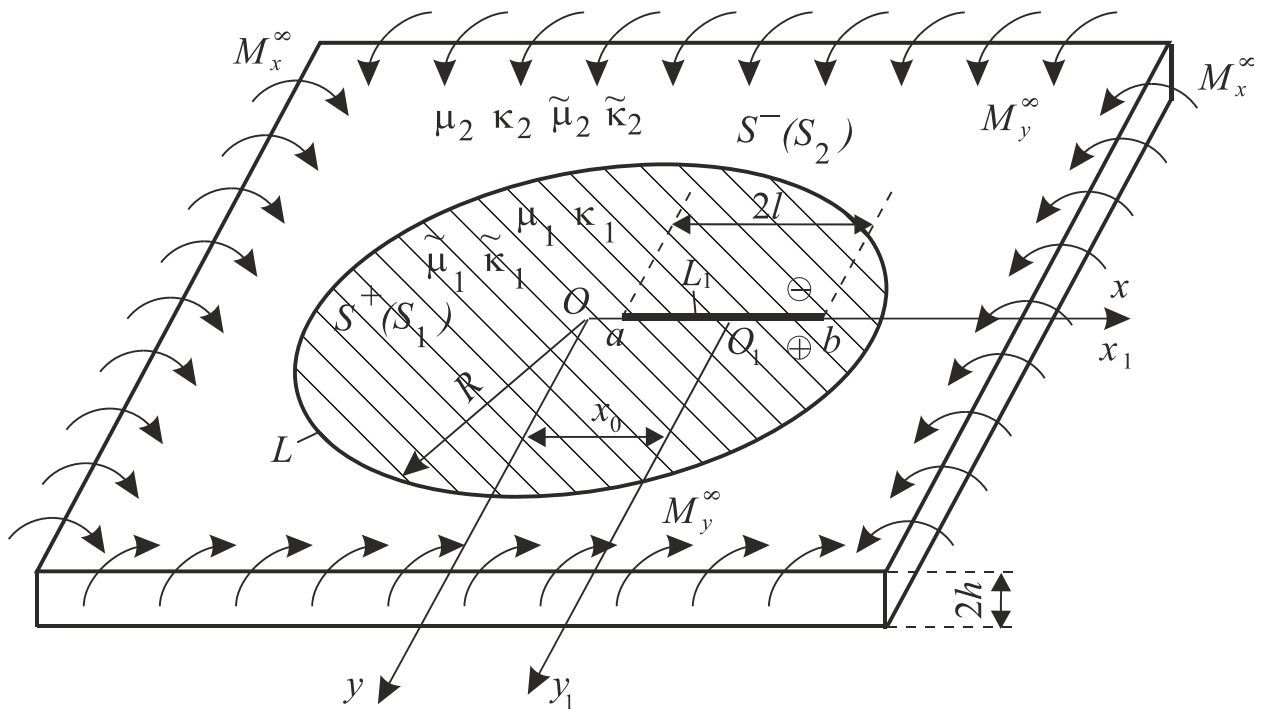


Рис. 1. Схема навантаження пластини та розміщення тріщини

У середній площині пластини виберемо декартову систему координат  $Oxyz$  з початком координат у центрі кругової шайби, спрямувавши вісь  $O\tilde{z}$  перпендикулярно до серединної площини. З тріщиною завдовжки  $2l$  зв'язуємо локальну систему координат  $O_1x_1y_1$  з початком координат у центрі тріщини, спрямувавши вісь  $O_1x_1$  по ній. Область у середині шайби позначимо через  $S_1(S^+)$ ,

зовні –  $S_2(S^-)$ . Будемо користуватись полярною системою координат  $r, \theta$  з полюсом у точці  $O$  і полярною віссю  $Ox$ . Відрізок дійсної осі  $O_1x_1y_1$  для якого  $|x_1| < l$ , позначимо  $L_1$ ,  $x_{01}$  – координата центру тріщини у глобальній системі координат  $Oxy$ . Граничним значенням відповідних величин при  $y_1 \rightarrow \pm 0$  або  $r \rightarrow R \pm 0$  будемо приписувати значки “+” і “–”, відповідно. Параметрам, пов’язаним із шайбою, будемо приписувати індекс “1”, а для матриці – індекс “2”. Надалі індекс  $j$  набуває значень 1 і 2.

Під дією згинальних моментів  $M_x^\infty$  і  $M_y^\infty$  береги тріщин контактуватимуть, то розв’язок задачі розбиваємо на дві задачі: плоску задачу та задачу згину, де користуємось класичною теорією згину пластин.

Згідно з формулюванням задачі отримали такі крайові умови:

$$\sigma_{y_1y_1}^{(1)\pm} = -N/(2h), \sigma_{x_1y_1}^{(1)\pm} = 0, x_1 \in L_1, \quad (1)$$

$$P_{y_1}^{(1)\pm} = 0, M_{y_1}^{(1)\pm} = hN, \left[ \partial_{x_1} v_P^{(1)} \right] + h \left[ \partial_{x_1y_1}^2 w^{(1)} \right] = 0, x_1 \in L_1, \quad (2)$$

$$P_r^{(1)} = P_r^{(2)}, M_r^{(1)} = M_r^{(2)}, w^{(1)} = w^{(2)}, \partial_r w^{(2)} = \partial_r w^{(1)}, \text{ на } L, \quad (3)$$

$$\sigma_{rr}^{(1)} = \sigma_{rr}^{(2)}, \sigma_{r\theta}^{(1)} = \sigma_{r\theta}^{(2)}, u_{rP}^{(1)} = u_{rP}^{(2)}, u_{\theta P}^{(1)} = u_{\theta P}^{(2)}, \text{ на } L, \quad (4)$$

де  $N$  – контактне зусилля між берегами тріщини;  $\sigma_{y_1y_1}^{(j)}$ ,  $\sigma_{x_1y_1}^{(j)}$  і  $\sigma_{rr}^{(j)}$ ,  $\sigma_{r\theta}^{(j)}$  – компоненти тензора напружень; а  $u_P^{(j)}$ ,  $v_P^{(j)}$  і  $u_{rP}^{(j)}$ ,  $u_{\theta P}^{(j)}$  – компоненти вектора переміщення точки у плоскій задачі;  $P_{y_1}^{(j)}$  і  $P_r^{(j)}$  – узагальнена в сенсі Кірхгофа перерізувальна сила;  $M_{y_1}^{(j)}$  і  $M_r^{(j)}$  – згинальний момент;  $w^{(j)}$  – прогин пластини. Квадратні дужки у формулі (2) вказують на стрибок відповідної величини на берегах тріщини.

## Побудова розв'язку задачі

Із використанням комплексних потенціалів плоскої задачі і класичної теорії згину пластин, розв'язок задачі зведений до задач лінійного спряження, на підставі яких отримано системи сингулярних інтегральних рівнянь стосовно невідомих функцій стрибків кутів повороту нормалі до серединної площини у задачі згину  $Y(\eta)$  та стрибків переміщень на берегах тріщин у плоскій задачі  $G(\eta)$

$$\int_{-1}^1 \{K(\eta, \varepsilon) + L(\eta, \varepsilon)\} Y_1(\eta) d\eta = c', \quad \int_{-1}^1 \{R(\eta, \varepsilon) - S(\eta, \varepsilon)\} G_2(\eta) d\eta = 0, \quad (5)$$

$$\int_{-1}^1 \{(L(\eta, \varepsilon) - K(\eta, \varepsilon)) Y_2(\eta) + 2(R(\eta, \varepsilon) + S(\eta, \varepsilon)) G_1(\eta)\} d\eta = P(\varepsilon), \quad (6)$$

де

$$\begin{aligned} K(\eta, \varepsilon) = & -\frac{1}{2\pi\tilde{\mu}_1} \left\{ \frac{\eta}{2\lambda^2} \left( \tilde{D}_{21}(1 - \tilde{\kappa}_1) + \tilde{D}_{61} \frac{\lambda^2}{X^2} \right) - \tilde{\kappa}_1 \left( \frac{1}{T - X} + \frac{\tilde{A}_4 \tilde{\kappa}_1 T}{T_1} \right) - \right. \\ & - \tilde{A}_4 \left( \frac{\lambda^2}{T_1^2} \left( \frac{\lambda^2}{T} - T \right) - \frac{1}{T} \right) + \frac{2\lambda^2 \tilde{A}_4 T X}{T_1^3} \left( \frac{\lambda^2}{T} - T \right) + \\ & \left. + \left( \frac{\lambda^2}{X^2} \left( \frac{\tilde{A}_3 X}{T_1} - \tilde{A}_4 \left( -\frac{1}{T} + \frac{\lambda^2 (3TX - \lambda^2)}{T_1^3} \left( \frac{\lambda^2}{T} - T \right) \right) \right) \right) - \frac{\tilde{\kappa}_1}{T - X} \right\}, \\ L(\eta, \varepsilon) = & \frac{1}{2\pi\tilde{\mu}_1} \left\{ \frac{\lambda^2 \tilde{A}_4 \tilde{\kappa}_1}{T_1^2} \left( \frac{\lambda^2}{T} - T \right) - \frac{\tilde{A}_4 \tilde{\kappa}_1}{T} + (T - X) + \right. \\ & + \frac{\tilde{A}_4 \tilde{\kappa}_1 T}{T_1} + X \left( \frac{1}{(T - X)^2} - \frac{\tilde{A}_4 \tilde{\kappa}_1 T^2}{T_1^2} \right) - \frac{T}{(T - X)^2} + \\ & \left. + \frac{\tilde{A}_4 \tilde{\kappa}_1 \lambda^2 T}{X^2} \left( \frac{1}{T_1} + \frac{TX}{T_1^2} \right) + 0.5\eta\lambda^2 \left( \tilde{D}_{31}(1 - \tilde{\kappa}_1) + \frac{\tilde{D}_{61}\lambda^2}{X^2} \right) \right\}, \\ R(\eta, \varepsilon) = & \frac{1}{2\pi} \left\{ \frac{A_4 \eta}{\lambda^2 (1 - A_4)} \left( 2A_4 + (A_4 - 1) \frac{\lambda^2}{X^2} \right) + \frac{A_4}{T} \left( 1 + \frac{\lambda^2}{X^2} \right) + \right. \end{aligned}$$



$$\begin{aligned}
& + \frac{2}{T-X} + \frac{A_3 \lambda^2}{X T_1} - A_4 \left( \frac{T}{T_1} + \right. \\
& \left. + \frac{\lambda^2}{T_1^2} \left( 1 + \frac{\lambda^2}{X^2} \right) \left( \frac{\lambda^2}{T} - T \right) - 2\lambda^2 T \left( X - \frac{\lambda^2}{X} \right) \left( \frac{\lambda^2}{T} - T \right) \frac{1}{T_1^3} \right) \Bigg\}, \\
S(\eta, \varepsilon) &= \frac{1}{2\pi} \left\{ \frac{A_4}{T} + \frac{1}{T-X} - 1 - A_4 \left( \frac{\lambda^2}{T_1^2} (\lambda^2 T^{-1} - T) + \right. \right. \\
& \left. \left. + \left( 1 + \frac{\lambda^2}{X^2} \right) \frac{T}{T_1} - \frac{T^2}{T_1^2} \left( X - \frac{\lambda^2}{X} \right) \right) \right\} + A_4 \eta \lambda^2 (1 - A_4)^{-1} \left( 2A_4 + \frac{\lambda^2}{X^2} (A_4 - 1) \right) \Bigg\}, \\
P(\varepsilon) &= -\frac{\Gamma_2}{\tilde{\mu}_1} \left\{ \frac{1 - \tilde{g}^{-1} \tilde{A}_3}{1 - \tilde{A}_4} (1 - \tilde{\kappa}_1) + (1 + \tilde{g} \tilde{A}_4) \right\},
\end{aligned}$$

$$T = X_0 + \eta, \quad X = X_0 + \eta, \quad X_0 = x_0/l, \quad \eta = x_1/l, \quad \varepsilon = x_1/l,$$

$$\rho = \frac{M_x^\infty}{M_y^\infty}, \quad \tilde{n} = \frac{E_2}{E_1}, \quad \lambda = \frac{R}{l}, \quad T_1 = \bar{X}T - \lambda^2, \quad \mu_1 = \frac{1}{2(1+v_1)}, \quad \mu_2 = \frac{\tilde{n}}{2(1+v_2)},$$

$$\kappa_j = \frac{3-v_j}{1+v_j}, \quad \tilde{\kappa}_1 = \frac{3+v_j}{1-v_j}, \quad \tilde{\mu}_j = \frac{1}{2D_j(1-v_j)}, \quad D_1 = \frac{2}{3(1-v_1^2)}, \quad D_2 = \frac{2\tilde{n}}{3(1-v_2^2)},$$

$$A_1 = \mu_1 + \mu_2 \kappa_1, \quad A_2 = \mu_2 + \mu_1 \kappa_2, \quad \tilde{A}_1 = \tilde{\mu}_1 + \tilde{\mu}_2 \tilde{\kappa}_1, \quad \tilde{A}_2 = \tilde{\mu}_2 + \tilde{\mu}_1 \tilde{\kappa}_2,$$

$$g = -A_1/A_2, \quad \tilde{g} = -\tilde{A}_1/\tilde{A}_2, \quad A_4 = (\mu_2 - \mu_1) A_1^{-1}, \quad \tilde{A}_4 = (\tilde{\mu}_2 - \tilde{\mu}_1) \tilde{A}_1^{-1},$$

$$A_3 = A_2^{-1} (\mu_1 \kappa_2 - \mu_2 \kappa_1), \quad \tilde{A}_3 = \tilde{A}_2^{-1} (\tilde{\mu}_1 \tilde{\kappa}_2 - \tilde{\mu}_2 \tilde{\kappa}_1), \quad A_5 = \mu_2 A_1^{-1} (1 + \kappa_1),$$

$$\Gamma_2 = -\frac{1+\rho}{4D_2(1+v_2)}, \quad D_3 = \frac{1-A_3 g^{-1}}{1-A_4^2}, \quad \tilde{D}_{31} = \frac{\tilde{A}_4^2(1-\tilde{\kappa}_1)}{1-\tilde{A}_4}, \quad \tilde{D}_{61} = \tilde{A}_4(\tilde{\kappa}_1 - 1),$$

$$y(x) E_1 h^3 / M_y^\infty = Y(x) = Y_1(x) + iY_2(x),$$

$$y(x) = (1 + \tilde{\kappa}_1)^{-1} \left[ \partial_x w^{(1)} + i \partial_y w^{(1)} \right],$$

$$\frac{h^2 g'(x)}{M_y^\infty} = G(x) = G_1(x) + iG_2(x), \quad g'(x_1) = \frac{2\mu_1}{i(1+\kappa_1)} \left[ \partial_{x_1} (u_P + iv_P) \right].$$

З крайової умови (2) отримаємо

$$G_1(\eta) + \frac{1 + \tilde{\kappa}_1}{(1 + \tilde{\kappa}_1)(1 + \nu_1)} Y_2(\eta) = 0. \quad (7)$$

Систему рівнянь (5)-(7) доповнюємо додатковими умовами

$$\int_1^1 Y(\eta) d\eta = 0, \int_1^1 G(\eta) d\eta = 0, \int_1^1 \eta Y_2(\eta) d\eta = 0, \quad (8)$$

де перші дві умови виражають собою однозначність кутів повороту у задачі згину та однозначність переміщень у плоскій задачі, а остання - однозначність прогину при обході контура тріщини. Умови ідеального механічного контакту на коловій межі поділу матеріалів (3)-(4) вдалося задовольнити аналітично.

Зведене контактне зусилля між берегами тріщини обчислимо за формулою

$$N^* = \frac{hN}{M_y^\infty} = 2 \int_{-1}^1 \{ R(\eta, \varepsilon) + S(\eta, \varepsilon) \} G_1(\eta) d\eta.$$

Коефіцієнти інтенсивності моментів (КИМ)  $K = K_1 - iK_2$  та зусиль (КІЗ)

$k = k_1 - ik_2$  можна обчислити за формулами

$$k = \mp h \lim_{x \rightarrow \pm l} (f(x) g'(x)), \quad f(x) = \sqrt{(l^2 - x^2)/l},$$

$$K = \mp 4E_1 h^3 (3 + \nu_1) (3(1 - \nu_1^2))^{-1} \lim_{x \rightarrow \pm l} (f(x) y(x)).$$

## Числовий аналіз задачі

Система сингулярних інтегральних рівнянь (5)-(8) розв'язана чисельно з використанням методу механічних квадратур при  $v_1 = v_2 = 0.3$ .

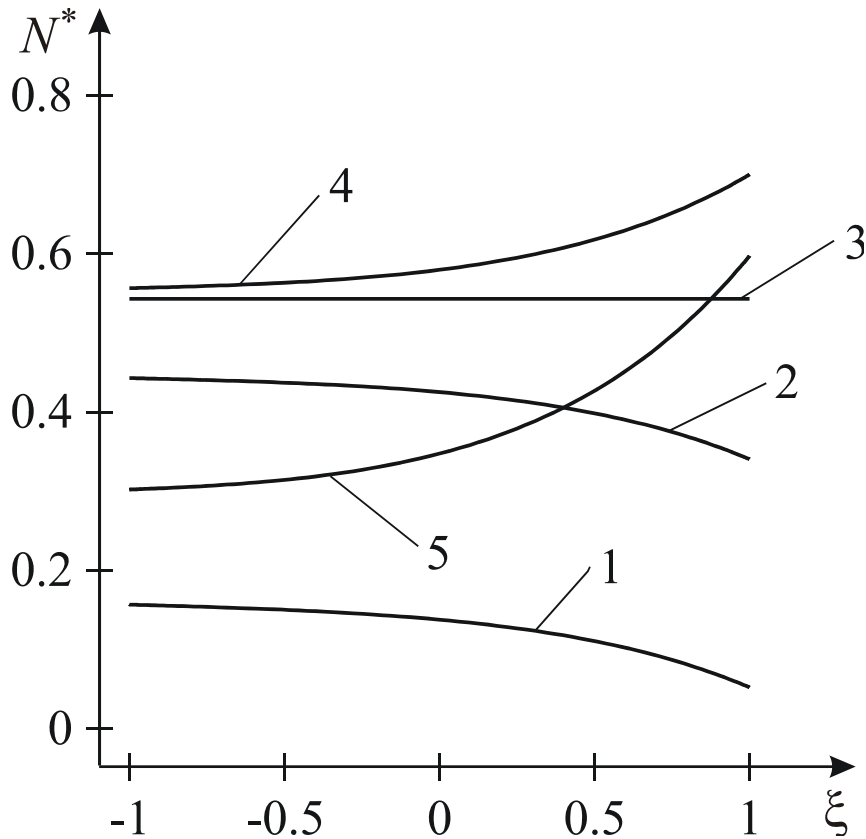


Рис. 2. Графічна залежність контактного зусилля  $N^*$  між берегами тріщини при різних  $\beta = \lg(E_1/E_2)$

На рис. 2 зображено графічну залежність приведенного контактного зусилля  $N^* = hN/M_y^\infty$  між берегами тріщини від безрозмірної координати  $\xi = x_1/l$  при  $\rho = 1$ ,  $\lambda = 5$ ,  $X_0 = 3$ . Крива 1 побудована при  $\beta = -1$ , крива 2 – при  $\beta = -0.3$ , крива 3 – при  $\beta = 0$ , крива 4 – при  $\beta = 0.3$ , крива 5 – при  $\beta = 1$ . При  $\beta < 0$  величина контактного зусилля є максимальною у вершині  $a$  ( $\xi = -1$ ), а при  $\beta > 0$  – максимальна у вершині  $b$  ( $\xi = 1$ ), поблизу колової межі поділу матеріалів. При  $\beta = 0$  отримаємо випадок однієї ізольованої тріщини у пластині.

На рис. 3 побудовано графічну залежність КІМ  $K_1^* = K_1 / (M_y^\infty \sqrt{l})$  від  $\beta = \lg \frac{E_1}{E_2}$  при  $\lambda = 4$ ,  $\rho = 1$ . Криві 1 побудовані при  $X_0 = 0$ , криві 2 – при  $X_0 = 0.3$ , криві 3 – при  $X_0 = 1.3$ , криві 4 – при  $X_0 = 2$ . При  $\beta < 0$  КІМ у вершинах тріщини  $a$  та  $b$  зростають із збільшенням  $\beta$ . При  $\beta > 0$  величина КІМ у вершині тріщини  $b$  є більшою ніж у вершині  $a$ . Крім того, при наближенні вершини тріщини  $b$  до колової межі поділу матеріалів при  $\beta > 0$  КІМ у ній збільшуються.

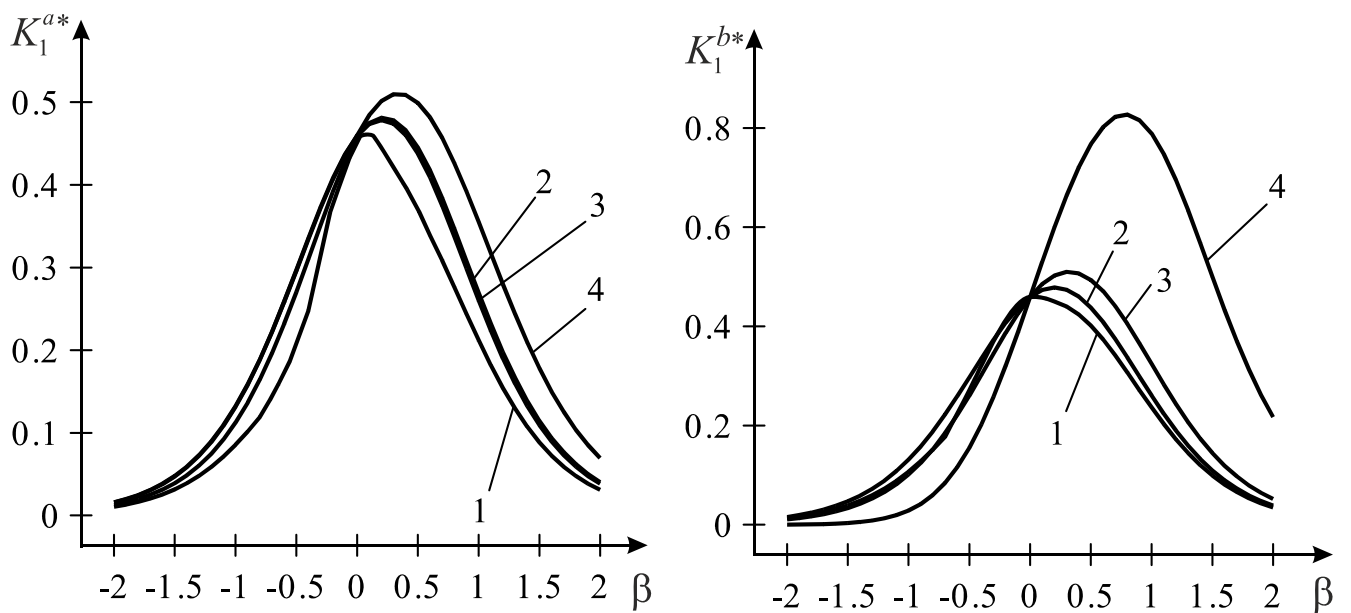


Рис. 3. Графічна залежність коефіцієнтів інтенсивності моментів від  $\beta$  при різних значеннях  $X_0 = x_0/l$

Зауважимо, що зведені коефіцієнти інтенсивності зусиль  $k_1^* = h k_1 / (M_y^\infty \sqrt{l})$  і моментів  $K_1^*$  пов'язані між собою залежністю  $k_1^* / K_1^* = 3(1 + \nu_1) / (3 + \nu_1)$ , тому графічні залежності для  $k_1^*$  не подаємо, а  $k_2^* = 0$  і  $K_2^* = 0$ .

## Висновки

- Сформульована та розв’язана задача про двовісний згин кусково-однорідної пластини з пружною круговою шайбою та радіальною тріщиною у шайбі з урахуванням контакту її берегів.
- Побудовані графічні залежності для контактного зусилля між берегами тріщини та коефіцієнтів інтенсивності моментів при різних значеннях механічних параметрів.
- Аналіз графічних залежностей показав:
  1. Якщо жорсткість шайби є меншою за жорсткість матриці то величина контактного зусилля є максимальною у вершині більш віддаленій від межі поділу матеріалів і якщо жорсткість шайби більша – то максимальні контактні зусилля більші у ближній до межі вершині тріщини.
  2. Якщо жорсткість шайби є такою ж як і матриці, то отримуємо випадок однієї ізольованої тріщини
  3. Якщо  $\beta > 0$  то коефіцієнти інтенсивності моментів у вершині ближчій до межі поділу матеріалів є більшими ніж у дальній вершині.

### Список використаної літератури

1. Alwar R.S. Influence of crack closure on the stress intensity factor for plates subjected to bending – A 3-D finite element analysis / R.S. Alwar, K.N. Ramachandran Nambissan // Engineering Fracture Mechanics. – 1983. – Vol. 17. – No. 4. – P. 323-333.
2. Шацький І.П. Згин пластини, ослабленої розрізом з контактуючими берегами / І.П. Шацький // Доп. АН УРСР. Сер. А. Фізико-математичні та технічні науки. – 1988. – № 7. – С. 49-51.
3. Young M. Influence of crack closure on the stress intensity factor in bending plates / M. Young, C. Sun // International Journal of Fracture. – 1992. – Vol. 55. – P. 81-93.
4. Опанасович В. Вплив контакту берегів двох співвісних тріщин на напружений стан трансверсально-ізотропної пластини в умовах чистого згину / В. Опанасович, Р. Селіверсов // Вісн. Львів. ун-ту. Сер. мех.-мат. – 2006. – Вип. 65. – С. 152-157.
5. Heming F. S. Jr. Sixth order analysis of crack closure in bending of an elastic plate / F.S. Jr. Heming // International Journal of Fracture. – 1980. – Vol. 16. – No. 4. – P. 289-304.
6. Kwon Y.W. Finite element analysis of crack closure in plate bending / Y.W. Kwon // Computers and Structures. – 1989. – Vol. 32. – No. 6. – P. 1439-1445.
7. Murthy M. On the bending stress distribution at the tip of a stationary crack from Reissner's theory / M. Murthy, K. Raju, S. Viswanath // International Journal of Fracture. – 1981. – Vol. 17. – P. 537-552.
8. Шацький І. Задачі теорії пластин та оболонок із взаємопов'язаними крайовими умовами на розрізах / І. Шацький, В. Перепічка, Т. Даляк, А. Щербій // Матем. проблеми механіки неоднорідних структур: в 2-х т. Львів: Каменяр, 2000. – Т. 2. – С. 51-54.

9. Шацький І.П. Граничний стан напівнескінченної пластини з крайовою тріщиною за згину з розтягом / І.П. Шацький, В.В. Перепічка // Фізико-хімічна механіка матеріалів. – 2004. – Т. 40. – № 2. – С. 73-77.
10. Опанасович В. К. Двосторонній згин пластини з круговим отвором та тріщиною з врахуванням контакту її берегів / В.К. Опанасович, М.С. Слободян // Вісник Донецького університету. Сер. А: Природничі науки. – 2005. – Вип. 1. – С. 85-89.
11. Опанасович В.К. Двовісний згин пластини з круговим отвором і двома радіальними тріщинами, береги яких контактують / В.К. Опанасович, М.С. Слободян // Математичні методи та фізико-механічні поля. – 2006. – Т. 49. – № 3. – С. 106-119.
12. Опанасович В. Двовісний згин безмежної пластини з абсолютно жорсткою шайбою та тріщиною, береги якої контактують / В. Опанасович, М. Слободян // Вісник Львівського державного аграрного університету. – 2007. – № 8. – с. 75-87.
13. Dempsey J.P. Closure of a through crack in a plate under bending. / J.P. Dempsey, I.I. Shekhtman, L.L. Slepuyan // International Journal of Solids and Structures. – 1998. – Vol.35. – P. 4077-4089.
14. Slepuyan L.I. Asymptotic solutions for crack closure in an elastic plate under combined extension and bending / L.I. Slepuyan, J.P. Dempsey, I.I. Shekhtman // Journal of the Mechanics and Physics of Solids. – 1995. – Vol. 43. – P. 1727-1749.
15. Опанасович В. Визначення критичного навантаження за згину пластини Рейснера з наскрізними тріщинами та з урахуванням контакту їхніх берегів / В. Опанасович, І. Яцик // Механіка руйнування матеріалів і міцність конструкцій: наук. зб.; за заг. ред. В.В. Панасюка. – Львів : Фізико-механічний інститут ім. Г.В. Карпенка НАН України, 2009. – С. 155–160.
16. Опанасович В. Двовісний згин кусково-однорідної ізотропної пластини з прямолінійною межею поділу матеріалів із двома перпендикулярними тріщинами з урахуванням контакту їх берегів / В.К. Опанасович, І.С. Звізло,

І.М. Яцик // Вісн. Дніпропетровського ун-ту, 2007. Механіка. Вип. 11, том 2. № 2/2. С.141-148.

17. Опанасович В. Двосторонній згин ізотропної кусково-однорідної пластини з коловою межею поділу матеріалів та радіальною тріщиною з урахуванням контакту берегів / Віктор Опанасович, Іван Звізло // Механіка і фізика руйнування будівельних матеріалів та конструкцій. Збірник наукових праць. Львів: Каменяр. – 2009. – Вип. 8. – С. 63-78.
18. Сулим Г.Т. Основи математичної теорії термопружної рівноваги деформівних твердих тіл з тонкими включеннями / Г.Т. Сулим. – Львів, 2007.